

вытекающей из (2). В этой формуле величина a_3 определялась по (3), (4). Полученное значение V_r использовалось для расчета концентрации n аэрозольных частиц, которая обеспечивает 50-процентную вероятность возникновения оптического пробоя в аэрозольной камере при заданной энергии лазерного пучка.

Расчеты показали, что решение (1)—(4) весьма чувствительно к значениям границ a_1 , a_2 диапазона радиусов. На рисунке приведены результаты расчетов зависимости $E(n)$ для диапазона радиусов частиц: 1 — 0.04, 5; 2 — 0.04, 100; 3 — 0.06, 5; 4 — 0.06, 10; 6 — 0.08, 5 мкм.

Из рисунка видно, что незначительное изменение верхней границы диапазона юнговского распределения частиц оказывает на характер зависимости влияние большее, чем изменение радиуса a_2 на порядок величины.

Рисунок показывает, что метод расчета зависимости по формулам (1)—(4) дает результаты, удовлетворительно согласующиеся с экспериментом. Построенная в этой работе теория вероятности возникновения сгустков плазмы ОР в аэрозоле может быть использована для уточнения зависимости порога пробоя от радиуса частиц при использовании лазерных пучков с гауссовым распределением. Полученные соотношения дополняют теорию вероятности возникновения сгустков плазмы ОР, развитую в [2, 3] и будут полезны для решения широкого круга актуальных задач оптического разряда в аэрозоле.

Список литературы

- [1] Захарченко С. В., Синтюрин Г. А., Скрипкин А. М. // Тр. ИЭМ. 1983. № 31 (105). С. 11—25.
[2] Белов Н. Н. // ДАН СССР. 1986. Т. 289. № 6. С. 1370—1372.
[3] Белов Н. Н. // Оптика атмосферы. 1988. Т. 1. № 4. С. 45—52.

Научно-исследовательский
физико-химический институт
им. Л. Я. Карпова
Москва

Поступило в Редакцию
14 июня 1988 г.
В окончательной редакции
4 января 1989 г.

УСТАНОВИВШАЯСЯ ВОЛНА ДИССОЦИАЦИИ—ИОНИЗАЦИИ В СВЧ ПОЛЕ

Б. Ю. Кузин, Е. Е. Чемерисона

Основным механизмом, приводящим к контрагированию СВЧ разрядов в газе высокого давления ($\nu > \omega$, ν — частота столкновений электронов с тяжелыми частицами, ω — циклическая частота электромагнитной волны) является ионизационно-перегревная неустойчивость (ИПН), нелинейная стадия которой исследовалась в [1, 2]. Наряду с данной неустойчивостью в молекулярных газах существенную роль в динамике разряда может играть диссоциативная, причем для ее развития не требуется выполнения условия $\nu > \omega$. Она связана с перегревом электронной компоненты плазмы в процессе диссоциации вследствие уменьшения коэффициента передачи энергии δ от нее в газ с ростом доли электрон-атомных столкновений. Увеличение температуры электронов $T_e \sim 1/\delta$ при этом приводит к возрастанию частоты диссоциации, дальнейшему падению δ и, следовательно, росту T_e .

Поскольку при $\nu > \omega$ диссоциативная неустойчивость конкурирует с ИПН, то эффективное протекание первой возможно, когда ее характерное время $\tau_d < \tau_{ip}$ меньше характерного времени ИПН, которое определяется нагревом и вытеснением газа из области разряда. В плазме молекулярного газа основные потери энергии электронов при $|E|/N \leq 10^{-15}$ В·см² связаны с возбуждением колебательных уровней ($|E|$ — напряженность поля, N — концентрация молекул). Поэтому основной канал нагрева газа — процесс VT-релаксации. При низких температурах газа (например, для O₂, N₂, CO < 10³ К) время VT-релаксации довольно велико ($\sim 10^{-1}$ — 10^{-3} с) и на временах $\tau < \tau_{VT}$ нагрев газа определяется упругим рассеянием электронов на молекулах. Характерное время упругого нагрева $\tau_{ny} \sim 1/2 (M/m) T/T_e (\nu \nu_{em})^{-1}$, $\nu \nu_{em}$ — частота упругих электрон-молекулярных столкновений, τ_i — степень

ионизация. Таким образом, диссоциативная неустойчивость будет управляться развитием разряда при условии $\tau_d \sim N \delta_{dis} / \sigma |E|^2 < \tau_{VT}$, τ_{ny} , которое справедливо, если $(\hbar\omega/T_e) \nu_{ny} > (m/M) (\delta_{dis}/T) \nu_{em}^y$ (m , M — массы электрона и молекулы, E_{dis} — энергия диссоциации, ν_{ny} — частота неупругих электрон-молекулярных столкновений). При $T_e > \hbar\omega$ (энергии колебательного кванта) оно выполняется в области эффективного колебательного возбуждения молекул, когда $\sigma_{ev}/\sigma_{em}^y > 10^{-2}$ (σ_{ev} , σ_{em}^y — сечения колебательного и упругого электрон-молекулярного взаимодействия). Оценки показывают, что для давления $p \sim 1$ атм при $T \leq 5-10 \times 10^2$ К $\tau_d < \tau_{VT}$ при $\eta_i > 10^{-6}$. При $|E|/N < 10^{-15}$ В·см², когда основная доля энергии электронов идет на возбуждение электронных уровней молекул [3], ситуация для развития диссоциативной неустойчивости еще более благоприятна.

Отметим, что при $\tau < \tau_{VT}$ серьезную конкуренцию данной неустойчивости может оказать неустойчивость, связанная с обратным потоком энергии из колебательной компоненты в электронную в результате ударов второго рода [4], что также приводит к падению δ . Поскольку их инкременты $\gamma_d \sim \nu_{dis} \eta_i$ и $\gamma_n \sim \nu_T \eta_i$, то превалирование одной над другой определяется отношением констант диссоциации и тушения возбужденных состояний электронным ударом k_{dis}/k_T , которое является немонотонной функцией параметра $|E|/N$. Так, для кислорода при $|E|/N \sim 10^{-15}$ В·см² $k_{dis} = \sim 10^{-8}-10^{-9}$ см³/с [5], достигая значений $\sim 5 \cdot 10^{-7}$ см³/с [6], в то время как оценка k_T из принципа детального баланса дает $\sim 10^{-9}$ см³/с.

Эффективное изменение δ в процессе диссоциации газа происходит, если $\delta_{em} \gg \delta_{ea}$ коэффициент аккомодации энергии электронов в молекулярную компоненту значительно превышает его значение для атомарной. Поскольку

$$\delta_{em; ea} \approx \frac{2 \frac{m}{M} \nu_{em; ea}^y + N m; a \sum_j \int_{\epsilon_j}^{\infty} \epsilon_j \sqrt{\frac{2}{m}} \sigma_j^u(\epsilon) f(\epsilon) d\epsilon}{\nu_{em; ea}^y + \nu_{em; ea}^{ny}},$$

то данное условие легче удовлетворить, когда атомы диссоциировавшего молекулярного газа не имеют низколежащих электронных уровней, например H_2 , F_2 , HCl ; при $T_e \ll \epsilon_j$ $\delta_{ea} \sim \sim 2m/M_a (\epsilon_j, \sigma_j^u)$ — энергия и сечение неупругого возбуждения уровня; $f(\epsilon)$ — функция распределения электронов по энергии; индексы « em », « ea » относятся соответственно к молекулам и атомам). В противном случае существенное изменение δ возможно при $(\sigma_{em}^u/\sigma_{em}^y) \gg (\sigma_{ea}^u/\sigma_{ea}^y)$. Как правило, это неравенство выполняется в газах с большим сечением колебательного возбуждения, например CO , N_2 , O_2 . Атомы этих газов обладают низколежащими метастабильными состояниями (по отношению к характерной температуре разряда $T_e \geq 1$ эВ): $C - {}^1D_2$ (1.26 эВ), $N - {}^2^3D_{3/2, 3/2}$ (2.38 эВ), $O - {}^1D_2$ (1.96 эВ). Пользуясь для оценок данными [7] по возбуждению этих уровней, имеем для кислорода в интервале $T_e \sim 0.7 - 1.5$ эВ $\delta_{O_2} \sim 5 \cdot 10^{-2}$, $\delta_O \sim 5 \cdot 10^{-1}$, для CO при $T_e \sim 1.5 - 2.5$ эВ $\delta_{CO} \sim 10^{-1}$, $\delta_C \sim 10^{-2}$, для азота при $T_e \sim 2-3$ эВ $\delta_{N_2} \sim 10^{-1}$, $\delta_N \sim 10^{-2}$.

Механизм диссоциативной неустойчивости можно положить в основу формирования разряда в волновом поле. Анализ одномерной модели волны диссоциации и пробоя приведем в следующей системе уровней:

$$\frac{\partial N_d}{\partial t} = \nu_{dis} n_e, \quad (1)$$

$$\frac{\partial n_e}{\partial t} - D_a \frac{\partial^2 n_e}{\partial x^2} = (\nu_i - \nu_s) n_e, \quad (2)$$

$$\frac{\partial |E|^2}{\partial x} = -\mu |E|^2, \quad (3)$$

$$T_e = \frac{e^2 |E|^2}{3m\delta (\omega^2 + \nu^2)}, \quad (4)$$

N_d — концентрация продиссоциировавших молекул, $\nu_{dis} = AN_m \exp[-(\delta_{dis}/T_e)]$, $A = = 2\sqrt{2/\pi m} (\delta_{dis}/\sqrt{T_e}) \sigma_{dis}$, σ_{dis} — сечение диссоциации, $\nu_i \sim T_e^{\beta}$ — частота ионизации, ν_s — частота прилипания, $\mu = 2\pi/c (e^2 \nu_e/m (\omega^2 + \nu^2))$ — коэффициент поглощения СВЧ мощности (при $n_e < n_{кр}$ — критической плотности электронов), δ представим в виде

$$\delta = \delta_{em} \frac{N_m}{N_a + N_m} + 2 \frac{m}{M} \frac{N_a}{N_a + N_m} = \delta_{em} \frac{N_0 - N_d}{N_0 + N_d} + 2 \frac{m}{M} \frac{N_{0a} + 2N_d}{N_0 + N_d},$$

$N_{0a} \ll N_0$, $N_m = N_0 - N_d$ — концентрация молекул, $N_a = 2N_d$ — концентрация атомов, $\delta_{em} = \text{const.}$

Для описания установившейся волны ионизации, в которой все величины суть функции $y = y(x + ut)$, из (1–4), пренебрегая диффузионным слагаемым в (2), имеем

$$\frac{\partial F}{\partial N_d} - \Psi(N_d) F = G(N_d). \quad (5)$$

Здесь введены обозначения $F = \partial N_d / \partial y$, $\bar{N}_d = N_d / N_0$, $Z = |E|^2 / |E_0|^2$,

$$\Psi(N_d) = \left[\frac{1}{(1 - \bar{N}_d)} + \frac{2c_1}{(1 + \bar{N}_d)^2 (1 - \bar{N}_d)^{1/B}} - \frac{c_1}{B} \frac{(1 - \bar{N}_d)^{1/B-1}}{(1 - \bar{N}_d)^{2/B}} \left[\frac{1 - \left(1 - 4 \frac{m}{M} \delta_{em}\right) \bar{N}_d}{(1 + \bar{N}_d)} \right] \right],$$

$$G(N_d) = \frac{v_{s0}}{u} \left\{ \frac{v_{i0}}{v_s} \left[\frac{(1 + \bar{N}_d)}{\left(1 - \left(1 - 4 \frac{m}{M}\right) \delta_{em}\right) \bar{N}_d} \right]^3 (1 - \bar{N}_d)^{3/B} - (1 - \bar{N}_d) \right\},$$

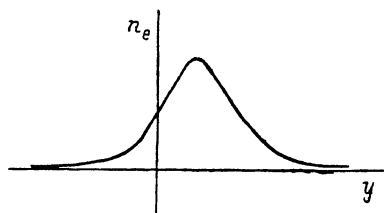
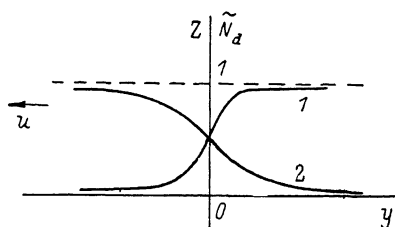


Рис. 1. Распределение концентрации атомов и энергии СВЧ поля в волне ионизации.

1 — N_d , 2 — Z .

Рис. 2. Распределение плотности плазмы в волне ионизации.

$$B = \frac{A}{u} \frac{c}{2\pi} \frac{m(v^2 + \omega^2)}{e^2 v}, \quad c_1 = \frac{3m(\omega^2 + v^2) \delta_{em} \epsilon_{dis}}{e^2 |E_0|^2}.$$

Игнорируя (5), с учетом граничных условий $\bar{N}_d|_{y=\infty} = 1$, $\bar{N}_d|_{y=-\infty} = 0$ получаем распределение концентрации атомов, поля и плазмы в волне диссоциации—ионизации

$$\bar{N}_d = \frac{1}{1 + \exp(-Ly)}, \quad L \approx \frac{v_{s0}}{v_{i0}} \frac{B}{c_1},$$

$$Z = \left[\frac{\exp(-Ly)}{1 + \exp(-Ly)} \right]^{1/B},$$

$$n_e = \frac{u}{A} \frac{1}{(1 - \bar{N}_d)} \frac{1}{\exp \left[-\frac{c_1}{Z} \left(\frac{\delta_{em} - \left(\delta_{em} - 4 \frac{m}{M} \right) \bar{N}_d}{(1 + \bar{N}_d)} \right) \right]} \frac{\partial \bar{N}_d}{\partial y},$$

движущееся навстречу СВЧ лучу со скоростью

$$u = \frac{c}{2\pi} \frac{A}{\beta} \frac{|E_0|^2}{v \delta_{em} \epsilon_{dis}} \approx \frac{v_{dis}}{\mu} \frac{T_{e0}}{\epsilon_{dis}} \eta_{i0}.$$

Качественный вид решения представлен на рис. 1, 2. Структура волны ионизации аналогична рассмотренной в [8], где ее формирование связывалось с ИПН. В данном случае диссоциативная неустойчивость не требует нагрева и вытеснения газа из области пробоя, а связана с диссоциацией и скачку плотности газа на фронте волны пробоя соответствует скачок степени диссоциации.

Авторы благодарят Е. Я. Когана за обсуждение результатов работы и ценные замечания и Л. Д. Цендина, обратившего внимание авторов на ряд принципиальных моментов.

Список литературы

- [1] Ким А. В., Фрайман Г. М. // Физика плазмы. 1983. Т. 9. № 3. С. 613—617.
 [2] Коган Е. Я., Кузин Б. Ю. // ПМТФ. 1988. № 3. С. 8—9.

- [3] Русанов В. Д., Фридман А. А. Физика химической активной плазмы. М.: Наука, 1984. 416 с.
- [4] Баранов В. Ю., Борисов В. М., Веденов А. А. и др. // ЖТФ. 1975. Т. 45. Вып. 11. С. 2343—2352.
- [5] Зарин А. С., Куликов В. Н., Мицук В. Е. // Письма в ЖТФ. 1986. Т. 12. Вып. 19. С. 1186—1190.
- [6] Куликов В. Н., Мицук В. Е. // Письма в ЖТФ. 1988. Т. 14. Вып. 3. С. 233—236.
- [7] Smith K., Heary R. J. W., Burke P. G. // Phys. Rev. 1967. Vol. 157. N 1. P. 51—68.
- [8] Коган Е. Я., Кузин Б. Ю. // Физика плазмы. 1985. Т. 11. № 5. С. 610—617.

Куйбышевский государственный
педагогический институт
им. В. В. Куйбышева

Поступило в Редакцию
15 июля 1988 г.

01; 10

Журнал технической физики, т. 59, в. 9, 1989

ЭЛЕКТРИЧЕСКОЕ ПОЛЕ В КАНАЛЕ СО ЗНАКОПЕРЕМЕННЫМ УСКОРЯЮЩИМ ПОЛЕМ

О. В. Плинок

Использование ускоряющего канала со знакопеременным ускоряющим полем позволяет повысить предельный ток пучка и темп ускорения в линейных ускорителях ионов [1]. В настоящее время для расчета полей в подобных системах применяют исключительно численные методы [2, 3]. Ниже получены аналитические выражения, позволяющие определить как распределение, так и интегральные характеристики электрического поля в ускоряющем канале со знакопеременным полем.

Наиболее адекватным приближением к реальному ускоряющему каналу в большинстве случаев может служить канал с трубками дрейфа в виде торов кругового поперечного сечения. Электрическое поле в ускоряющем канале ВЧ нерелятивистского ускорителя заряженных частиц можно считать квазистатическим.

Рассмотрим ускоряющий канал, в котором трубки дрейфа выполнены в виде идентичных равноудаленных торов кругового поперечного сечения (рис. 1). Для канала со знакопеременным полем суммарный заряд на торе Q неизменен по абсолютной величине, знак заряда чередуется.

Представим осевое распределение потенциала рядом Фурье

$$\varphi(0, z) = \sum_{m=0}^{\infty} A_{2m+1} \cos((2m+1)\pi z/h),$$

где h — длина периода канала.

Внесосевое распределение потенциала осесимметричного электрического поля может быть найдено по осевому распределению потенциала [4]

$$\varphi(r, z) = \frac{1}{2\pi} \int_0^{2\pi} \varphi(0, z + jr \sin \xi) d\xi,$$

где $j^2 = -1$.
Тогда

$$\varphi(r, z) = \sum_{m=0}^{\infty} A_{2m+1} I_0((2m+1)\pi r/h) \cos((2m+1)\pi z/h),$$

где I_0 — модифицированная функция Бесселя нулевого порядка.

Будем рассматривать случай тонких торов, когда радиус поперечного сечения тора $d/2$ существенно меньше как радиуса осевой окружности тора R , так и периода канала h . В нулевом приближении

$$A_{2m+1}^{(0)} = \frac{Q}{\pi \epsilon_0 h} \int_0^{\infty} \frac{\cos((2m+1)\pi z/h)}{\sqrt{R^2 + z^2}} dz = \frac{Q K_0((2m+1)\pi R/h)}{\pi \epsilon_0 h},$$

где ϵ_0 — электрическая постоянная, K_0 — функция Макдональда нулевого порядка.